KURT HOLTER zur Vollendung des 80. Lebensjahres

HISTORISCHE
UND ARCHÄOLOGISCHE
FORSCHUNGEN ZUR
ST.-GEORGS-KAPELLE IN WELS

28. JAHRBUCH DES MUSEALVEREINES WELS 1989/90

AUTORENVERZEICHNIS

Walter Aspernig, Dr. et Mag. phil., Professor, Wissenschaftlicher Konsulent der oö. Landesregierung, Lehrbeauftragter an der Pädagogischen Akademie der Diözese Linz; Direktor des Bundesrealgymnasiums I, Brucknerstraße 16, 4600 Wels

Kurt Holter, Prof. Dr. phil., Wissenschaftlicher Konsulent der 0ö. Landesregierung, ehrenamtlicher Konservator des Bundesdenkmalamtes, Mitglied des Österr. Archäolog. Institutes, Hon.-Prof. an der Universität Salzburg, 4600 Wels, Maria-Theresia-Straße 3

Günter K. Kalliauer, Archivleiter, Stadtarchiv Wels, Stadtplatz 55, 4600 Wels Erika, Kanelutti, Dr. phil., Wallgasse 26/18, 1060 Wien

Renate Miglbauer, Dr. phil., Stadtmuseum Wels, Pollheimerstraße 17, 4600 Wels Silvia Renhart, Dr. phil., Hallersdorf 36, 8564 Krottendorf

Mario Schwarz, Dr. phil., Univ.-Doz. Kunsthistorisches Institut der Universität Wien, Universitätsstraße 7, 1010 Wien I

Werner Wigelbeyer, Mag. AHS. – Professor, Abgeordneter z. oö. Landtag, Vizebürgermeister und Kulturreferent der Stadt Wels a. D., Stifterstraße 20, 4600 Wels

Für die Gewährung namhafter Subventionen für den Druck hat der Musealverein Wels der Stadt Wels zu danken.

Die Herausgabe dieser Veröffentlichung erfolgt ohne wirtschaftliche Gewinnabsicht, sondern vielmehr im Sinne der in den Vereinsstatuten festgelegten wissenschaftlichen, stadtgeschichtlichen und landeskundlichen Aufgaben.

Die Abbildungen wurden von den Verfassern beigestellt; das Porträt vor S. 7 stammt von Elfriede Mejchar, Wien.

Für den Inhalt der einzelnen Beiträge sind die Verfasser verantwortlich.

Gesamtherstellung: Druck- und Verlagshaus AG Welsermühl, Wels Im Kommissionsverlag bei Verlag Welsermühl, Wels Schriftleitung: Dr. Walter Aspering und Hon.-Prof. Dr. K. Holter

INHALTSVERZEICHNIS

| Werner Wige | ELBEYER: Gedanken über Kurt Holter anläßlich seines Achtzigers . 7 |
|--------------------------|--|
| | NIG: Das wissenschaftliche Werk Prof. Dr. Kurt Holters. zung 1981–1991 und Nachträge) |
| Vereinsberich | nt 1989–1990 |
| WILHELM RIES | s: Museum und Galerie der Stadt Wels 1989–1990 19 |
| Günter K. K. | ALLIAUER: Jahresbericht des Stadtarchivs Wels, 1989 u. 1990 29 |
| | Rz: Architekturhistorische Überlegungen zum romanischen Wester Welser Stadtpfarrkirche |
| Kurt Holter trag zur | : Zur ältesten Geschichte der St. Georgskapelle in Wels – ein Bei- Geschichte von Wels im Früh- und Hochmittelalter 49 |
| | NIG: Die St. Georgskapelle in Wels im Spätmittelalter und in der Neuzeit |
| Günter K. K. Jahrhund | ALLIAUER: Die Geschichte der St. Georgskapelle in den letzten zwei derten |
| | A MIGLBAUER: Die Grabungen in der ehemaligen Georgskapelle in |
| | Tr. Die menschlichen Skelettreste aus der Georgskapelle in WELS, |
| Erika Kanelu | лтт: Die Tierknochenreste aus der Georgskapelle in Wels 145 |
| VI | ERZEICHNIS DER ABBILDUNGSTAFELN |
| Zu Mario Sch | warz, Westportal der Welser Stadtpfarrkirche |
| Taf. I, | Abb. 1: Stadtpfarrkirche Wels: romanisches Portal von der Turmhalle ins Langhaus aus dem frühen 13. Jahrhundert nach S. 48 |
| Taf. II, | Abb. 2: Stadtpfarrkirche Wels: Nordseitiges Gewände des romanischen PortalsAbb. 3: Stadtpfarrkirche Wels: Südseitiges Gewände des romanischen Portals |
| Taf. III, | Abb. 4: Stadtpfarrkirche Wels: Flachrelief im rechten Gewände des romanischen Portals |
| | Abb. 5: Stadtpfarrkirche Wels: Halbplastischer Kopf im linken |
| Taf. IV, | Randbereich des romanischen Portals Abb. 6: Stadtpfarrkirche Wels: Kapitellzone im nordseitigen Gewände des romanischen Portals |
| | Abb. 7: Stadtpfarrkirche Wels; Halbplastische Dämonenfiguren im rechten Randbereich des romanischen Portals vor S. 49 |

VERZEICHNIS DER ABBILDUNGSTAFELN

| | Migelbauer: Grabungen in der ehemaligen Georgskapelle | | | |
|--|--|--|--|--|
| Taf. V, | Abb. 1: Rollsteine in Verstürzlage am Nordwestprofil der | | | |
| | Garage nach S. 112 | | | |
| | Abb. 2: Blöcke des Steinkistengrabes II und N-S Mauer, beide vom | | | |
| | Fragment der spätmittelalterlichen Kapelle überbaut | | | |
| | Abb. 3: Rötlich verfärbter Lehm mit Brandresten von Grab 24 | | | |
| 77' (377 | Abb. 4: Rollsteinlage an der südlichen Langhausmauer mit Grab 16 | | | |
| Taf. VI, | Abb. 5: O-W Mauer vor der östlichen Außenmauer der Garage | | | |
| | Abb. 6: Reste des Ziegelflußboden im Chor, Fundament einer | | | |
| | N-S Mauer, Teile des Altarfundamentes und Rollsteine der | | | |
| | oberen Lage der Apsis | | | |
| | Abb. 7: Fundament der Apsis aus Trockenmauerwerk Abb. 8: Fundament des frühmittelalterlichen Chors mit Säulenbasis | | | |
| Taf. VII, | | | | |
| 1ar. v11, | Abb. 9: Relief auf einem Konglomeratblock des Steinkistengrabes II | | | |
| | Abb. 10: Marmorbruchstück einer Gewandfigur, Vorderseite | | | |
| T.f 3/111 | Abb. 11: Säulenbasis aus dem Fundament der Apsis | | | |
| Taf. VIII, | Abb. 12: Bestattung im Steinkistengrab I | | | |
| | Abb. 13: Ziegelboden des Steinkistengrabes I | | | |
| TA IV | Abb. 14: Steinplatten j und h des Steinkistengrabes II | | | |
| Taf. IX, Taf. X, | Abb. 15: Beigaben aus dem Grab im Langhaus der Kapelle | | | |
| Iai. A, | Abb. 16: Grab 2 Abb. 17: Grab 7 | | | |
| | Abb. 18: Grab 10, 9, 12, 11, 8 | | | |
| | Abb. 19: Pferdebestattung | | | |
| Taf. XI, | Abb. 20: Fundament der nördlichen Langhausmauer neben Steinkistengrab I | | | |
| Iai. Ai, | | | | |
| | Abb. 21: Schotterniveau zwischen der Mauer, die die Schulter der Apsis bildet und der Nordecke von Steinkistengrab I | | | |
| | Abb. 22: Fundament des spätmittelalterlichen Chores | | | |
| | Abb. 23: Südansicht der ehemaligen Georgskapelle nach Abtragung der | | | |
| | ehemaligen Sakristei | | | |
| Taf. XII, | Abb. 24: Fundament der Ostmauer der ehemal. Sakristei | | | |
| 141. 2111, | Abb. 25: Fundament der Südmauer der ehemal. Sakristei | | | |
| | Abb. 26: Altarfundament (?) | | | |
| | Abb. 27: N-S Mauer im Langhaus und südliche Langhausmauer | | | |
| Taf. XIII, | Abb. 28: Zwei fragmentierte Grabsteine, Almgasse 6 | | | |
| | Abb. 29: Grab 20 | | | |
| | Abb. 30: Blick auf die Georgskapelle vom Semmelturm-Hochhaus | | | |
| | | | | |
| Zu Silvia Renhart, Die menschlichen Skelettreste | | | | |
| Tafel XIV, | Abb. 1: Cranium von Skelett 9, zu S. 127 f | | | |
| Tafel XV, | Abb. 2: Cranium von Skelett 12, zu S. 130 | | | |
| Tafel XVI, | Abb. 3: Verletzungen am Schädel von Skelett 9 (s. S. 127 f und S. 134) | | | |

ERIKA KANELUTTI

DIE TIERKNOCHENRESTE AUS DER GEORGSKAPELLE IN WELS

Einleitung

Im Zuge der Grabung im Bereich der Georgskapelle wurden neben menschlichen Skelettresen auch Tierknochen geborgen. Ein Teil dieses archäozoologischen Materials stammt aus Gräbern. Ein wahrscheinlich vollständiges Pferdeskelett befand sich ebenfalls im Grabungsbereich, wurde jedoch nur zur Hälfte freigelegt. Gemeinsam mit den Pferdeknochen wurden Reste eines Rindes sowie eines menschlichen Fußes geborgen.

Die Datierung der Tierknochenfunde wurde von Frau Dr. Renate Miglbauer anhand der archäologischen Befunde durchgeführt. Demnach stammt die Pferdebestattung und die nachstehenden Gräber aus dem frühen Mittelalter.

Methodik

Die Tierknochen wurden mittels Schublehre, Tasterzirkel bzw. Meßbrett vermessen, die Maße werden in mm angegeben. Bei der Vermessung der Tierknochen sowie den Bezeichnungen der Meßstrecken folgte in den Angaben von DRIESCH 1976, bei der Bestimmung des individuellen Alters der Tiere jenen von HABER-MEHL 1975.

Zur Berechnung der Widerristhöhe des Pferdes wurden die Faktoren von KIE-SEWALTER 1888 sowie die Tabellen von VITT 1952 herangezogen.

Auswertung

Nach Gräbern aufgeschlüsselt, gliedern sich die Tierreste wie folgt:

Grab 1/II (Steinkistensarkophag)

Haushuhn: - Schaftfragment eines linken Humerus

Hausrind: - proximales Fragment eines rechten Metatarsus (Bp 41,5)

Grab 2 (Säuglingsbestattung)

Hausschwein: – rechter Calcaneus eines subadulten Tieres, Alter: unter 2½ Jahre.

3 Rippenfragmente, 2 unbestimmbare Fragmente

Grab 3 (Bestattung mit Goldblattkreuz)

Haushuhn: - rechte Ulna, vollständig (GL 72, 9; Bp 8,9; Dp 13,5; KC 4,5; Dd 10,7)

- rechte Ulna, distales Fragment (KC 3,9; Dd 9,3)

Hauspferd: - Tarsale IV & V, rechts (GB 23,7)

Friba Kanolutti

Hausschwein: - Sternumfragment, quer zerhackt

- -rechtes Oberkieferfragment eines weiblichen Tieres, Mindestalter 1 Jahr.
- rechtes Mandibelfragment eines infantilen Tieres; Alter: wenige Wochen.
- rechter Calcaneus, Alter: unter 21/2 Jahre

Hausschaf/ziege: - Schaft eines rechten Metacarpus mit Bißspuren

Fragment eines Werkstückes aus Geweih

5 Rippenfragmente, 1 Femurfragment, 1 zerhacktes Scapulafragment; 9 unbestimmbare Fragmente, davon 1 verkohlt.

Grab 4 = Grab E

Hausschwein: - rechtes Frontale, juvenil

- rechtes Temporalefragment, subadult

Hausrind: - rechtes Temporalefragment

Haushund: - 12. Thorakalwirbel

1 Rippenfragment, 2 unbestimmbare Fragmente

Grab 5 = Grab F

Hausschwein: - Fragment einer rechten Ulna; Alter: unter 21/2 Jahre

Hausrind: - linker oberer Milchmolar

1 unbestimmbares Fragment

Grab 7 = Grab 10

Hausrind: - Mittelphalanx (GL 31,8; Bp 24,5; KD 19,9; Bd 21,9)

1 unbestimmbares Fragment

Grab 8/I = Grab 7

Hausschwein: - rechter Astragalus (GL1 42,8; GLm 39,9)

Hausrind: - Thorakalwirbelfragment ohne Epiphysen, Processus transversi beidseitig abgehackt.

- lose Epiphyse eines Thorakalwirbels

$Grab\ 10/I = Grab\ 19$

1 unbestimmbares Fragment

Grab 10/III = Grab 19

Pathologisch verändertes Rippenfragment eines großen Ungulaten (Hausrind?): nicht verheilter Bruch, Pseudogelenkbildung.

Grab 12 = Grab 25

1 Rippenfragment, 1 unbestimmbares Fragment

Pferdebestattung, Signatur 11

Mensch: - rechter Calcaneus, 3 Metatarsalia

Hausrind: - Fragmente eines stark zerhackten Schädels

- linkes Frontale, Teile von Parietale, Temporale und Palatinale. Hornzapfenbasis abgeschlagen.
- mesiales und caudales Fragment vom linken Jugale, Jochbogen und Orbita durchhackt
- linkes Maxillarefragment mit Molarenreihe
- Epistropheus: Wirbelkörper, caudale Epiphyse fehlt, craniale Gelenkfläche ventral zerbissen

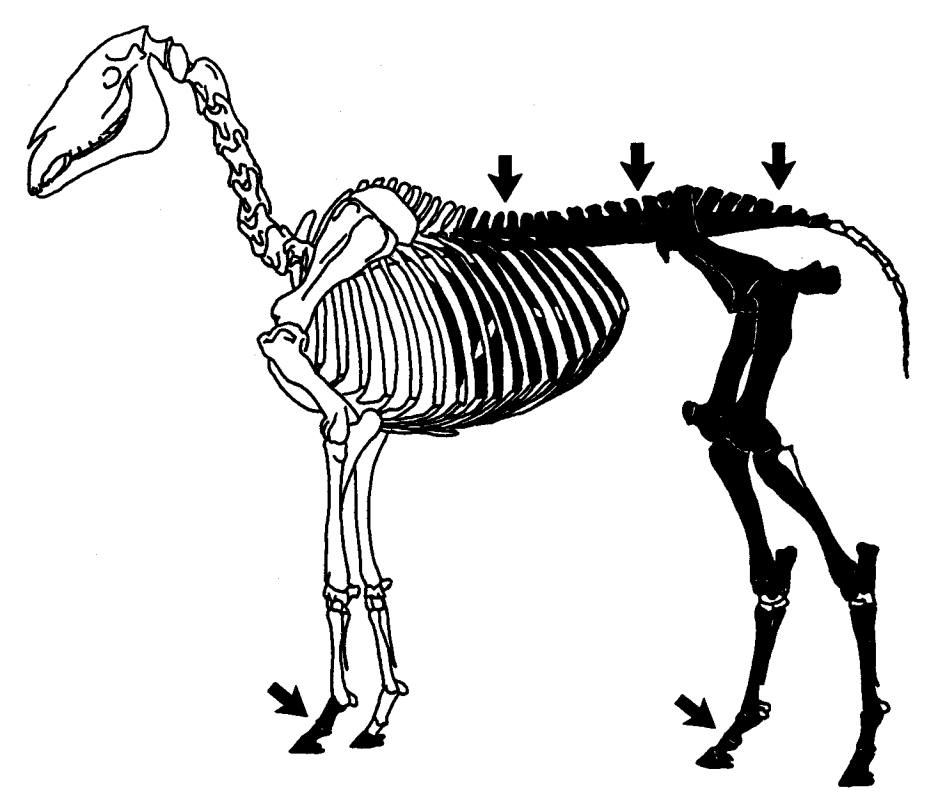


Abb. 1: Darstellung der geborgenen Skelettelemente (schwarz) und Lokalisierung der von pathologisch-anatomischen Veränderungen betroffenen Partien (Pfeile). (Skizze nach KRAHMER und SCHRÖDER, 1986)

Hauspferd:

- 7 Brustwirbel
- 6 Lendenwirbel
- Sacrum
- 2 Schwanzwirbel
- Fragmente von min. 22 Rippen
- Becken
- Femur li u re
- Patella li u re
- Tibia li u re
- Calcaneus li u re

- Astragalus li u re
- Metatarsale II li u re
- Metatarsale III li u re
- Metatarsale IV re
- Phalanx 1 post li u re
- Phalanx 2 post li u re
 Phalanx 3 post li u re
- Phalanx 1 ant li
- Phalanx 2 ant li
- Phalanx 3 ant li u re

Beschreibung des Pferdeskeletts

Wie der Auflistung der Skelettelemente sowie der Text-Abb. 1 zu entnehmen ist, sind fast alle Teile caudal vom vorderen Brustkorbabschnitt erhalten, zusätzlich einige Phalangen der Vordergliedmaßen (Taf. X, 19). Die Knochen befinden sich in einem guten Erhaltungszustand, sodaß nahezu alle Maße abgenommen werden konnten. Die Einzelmaße sind im Abhang zu finden.

Widerristhöhe (WRH):

Nach den von KIESELWALTER 1888 ermittelten Faktoren ergibt sich für die Femora eine WRH von 1,41 bzw. 1,40 m, für die Tibiae von 1,44 bzw. 1,43 m und für die Metatarsalia von 1,41 bzw. 1,43 m. In den von VITT 1952 definierten Größenklassen liegen die Längenmaße aller zur Widerristhöhenberechnung herangezogener Elemente im oberen Bereich der »mittelwüchsigen Pferde« mit errechneten WRH von 1,36 bis 1,44 m.

Für frühmittelalterliche Pferde werden in der Literatur Widerristhöhen von 128–152 cm angegeben. DRIESCH & BOESSNECK (1980) treffen folgende Zusammenfassung: »Die Masse der sächsischen oder fränkischen, thüringischen, allemannischen, bajuwarischen, awarischen, slawisch-awarischen Pferde hatten Schulterhöhen von etwa 1,30 m bis annähernd 1,45 m.«

Die größten Werte finden sich mit je einem Exemplar bei den Pferderesten aus dem 7.–8. Jahrhundert im Gebiet der DDR (MÜLLER, 1985) mit 1,50 m und unter den Resten aus dem bajuwarischen Pferdegrab in Regensburg (DRIESCH & BOESSNECK, 1980) mit 1,52 m. Ansonsten führen z. B. DRIESCH-KARPF (1967) Werte von 1,37 und etwa 1,3 m für Pferde aus bayerischen Reihengräberfeldern, MÜLLER (1985) für 70 Pferde aus dem 7.–8. Jh. einen Mittelwert von 138,0cm (min. 128, max. 150 cm) und für 11 Pferde aus dem 9.–10. Jh. von 138,6 cm (min. 132, max. 147 cm) an. SCHÄFFER & DRIESCH (1983) beschreiben einen frühmittelalterlichen Pferdefund aus Kelheim mit einer Schulterhöhe von 145,2 cm und vier Exemplare aus Kirchheim mit einer mittleren WRH von 134,9 cm.

Die Pferde aus der Wikingerstadt Haithabu gruppieren sich um einen Mittelwert von 134 (nach KIESEWALTER) bzw. 132 cm (nach VITT) (HÜSTER, 1986), aus der slawischen Burg in Dannenberg in Niedersachsen (KOCKS, 1978) sind Werte von 129–139 cm bekannt.

Unter den Pferderesten aus dem baierischen Gräberfeld von Linz-Zizlau I (BÖKÖNYI, 1965) schließlich konnten ein Hengst und vier Wallache bestimmt werden. Das größte Pferd erreicht 140 cm, das kleinste jedoch nur 123,7 cm an Schulterhöhe, bei einem Mittelwert von 134,4 cm, der somit knapp 10 cm unter dem Welser Pferd liegt.

Aus dieser Auflistung geht hervor, daß das Pferd von der Welser Georgskapelle mit der errechneten Widerristhöhe von 142 cm ein für seine Epoche recht großes Exemplar darstellt.

Geschlechtsbestimmung und Wuchsform

Anhand des Beckens läßt sich eindeutig feststellen, daß es sich um ein männliches Pferd handelt. Dies entspricht auch den Befunden aus den bekannten bajuwarischen Pferdebestattungen, die fast ausschließlich Reste von Hengsten und Wallachen beinhalten (s. Zusammenstellung bei DRIESCH & BOESSNECK, 1988, S.206). Am vorliegenden Exemplar ist Kastration auszuschließen, da das Tuberculum dorsale am Schambein sehr stark ausgeprägt ist. (An dieser Stelle möchte ich Herrn Dr. E. Pucher, NhMW, dafür danken, daß er mir für die Geschlechtsbestimmung Sammlungsmaterial und auch eigene Aufzeichnungen zur Verfügung stellte.)

Kastration verzögert allgemein, bei Wallachen ebenso wie bei Ochsen, den Epiphysenschluß und führt daher zu längerem und schlankerem Wuchs der Gliedmaßen. Da die Pferde aus Linz-Zizlau (Bókónyi, 1965) räumlich wie zeitlich benachbart sind, eignen sie sich für den Vergleich von Proportionen und Schlankheitsindex.

Zur Charakterisierung der Körperproportionen wird die Länge der einzelnen Extremitätenknochen zueinander und zur Gesamtlänge der Langknochen in Beziehung gestellt. Das Femur des Welser Pferdes macht 38,7% (Linz: 538,1%, 538,2–38,6%), die Tibia 34,8% (Linz: 535,8% 534,4%–34,9%) und der Metatarsus 26,5% (Linz: 526,1, 526,7–27,4%) der Gesamtlänge aus. In allen Fällen ist also das Femur verhältnismäßig kurz, während Schienbein und Kanonenbein großen Anteil an der Beinlänge haben. Das Verhältnis vom Femur zum Metatarsus beträgt 146 (Linz: 5146, 5139–143), das von der Tibia bis zum Metatarsus 131 bzw. 132 (Linz: 5137, 5126–131).

Was die Körperproportionen betrifft, ähnelt das Welser Pferd also stark den Tieren von Linz-Zizlau, insbesonders den Wallachen. Der Schlankheitsindex jedoch, der aus den Metatarsusmaßen errechnet wird, beträgt im vorliegenden Fall 12,8 bzw. 12,0 und entspricht damit dem Index des Hengstes von Linz (12,9), während die schlankeren Wallachen nur Indizes von 10,9 bis maximal 11,5 erreichen.

Alter

Das genaue Sterbealter des Pferdes konnte nicht ermittelt werden, da Schädel und Zähne nicht geborgen wurden. Durch die feste Verwachsung sämtlicher Epiphysen ist ein Mindestalter von 5 Jahren gegeben. Das tatsächliche Alter des Tieres muß jedoch deutlich darüber liegen, da die Dornfortsätze des Sacrums, mit Ausnahme jenes des ersten Segments, zu einer Knochenplatte verwachsen sind. Zusätzlich ist der erste Schwanzwirbel mit dem Kreuzbein fest verwachsen. Die im nächsten Absatz erörterten pathologischen Veränderungen an Skelettelementen weisen ebenfalls auf ein höheres Alter und/oder auf starke Belastung des Tieres hin.

Pathologisch-anatomische Veränderungen

Autopodium: Am linken vorderen sowie rechten hinteren Autopodium sind Knochenauflagerungen zu erkennen, die auf chronische Entzündungen zurückzuführen sind. Diese Deformationen an Pferdephalangen werden als Schale bezeich-

net. In beiden Fällen ist der distale Bereich des Fesselbeines dorsal und volar/plantarseitig betroffen, an den Kronbeinen befinden sich am dorsalen Rand des proximalen Gelenkes stark ausgeprägte Exostosen. Das proximale Gelenk des hinteren Kronbeins ist außerdem plantar sekundär vergrößert.

Die linken hinteren Phalangen jedoch sind unauffällig. Ein Pferd, dessen Autopodien auch diagonal von Schale betroffen sind, erwähnt DRIESCH 1975 aus dem

Opfermoor Skedemosse auf Ödland.

Wirbelsäule: Am 11. und 12. Brustwirbel sind am Wirbelkörper jeweils linksseitig Knochenbrückenankylosen ausgebildet, die zwar an der Berührungsfläche nicht verknöchert sind, die Beweglichkeit dieser beiden Wirbel zueinander, besonders nach links, aber verhindert haben. Der Durchmesser dieser Auflagerungen beträgt etwa 1,5 cm, die Länge entlang des Wirbelkörpers etwa 3,5 cm.

Im Lendenbereich fällt, neben der schon erwähnten Verwachsung des Sacrums mit dem ersten Schwanzwirbel, auf, daß die rechtsseitigen Querfortsätze des 5. und 6. Lendenwirbels ebenso breitflächig aneinanderstoßen wie, beidseitig, die Querfortsätze des 6. Lendenwirbels mit jenen des Sacrums. Dies bedeutet, daß die Beweglichkeit im hinteren Lendenbereich, besonders nach rechts, eingeschränkt war.

Die an den vorliegenden Skelettelementen festgestellten pathologischen Veränderungen sind relativ geringfügig, sodaß eine tatsächliche Behinderung des Tieres nicht anzunehmen ist. Interessant ist jedoch, daß sich die diagonale Verteilung der Überlastungserscheinungen, die am Autopodium konstatiert wurde, an der Wirbelsäule wiederholt.

Die Veränderungen an der Wirbelsäule befinden sich tw. in jenem Bereich des Rückens, auf dem der Sattel aufliegt. Somit wird eine starke oder langandauernde Belastung als Reittier wahrscheinlich.

Zusammenfassung

Das Tierknochenmaterial aus den Gräbern der Georgskapelle setzt sich aus Haustierresten zusammen, wobei Rinder und Schweine bei weitem überwiegen. Pferd, Schaf oder Ziege, Hund und Haushuhn sind durch vereinzelte Funde dokumentiert. Ein Fragment eines Werkstückes aus Geweih ist der einzige Rest eines Wildtiers.

Für das Pferd aus der Pferdebestattung wurde eine Widerristhöhe von etwa 142 cm errechnet. Es handelt sich um einen relativ großen, älteren Hengst, dessen Phalangen und Wirbel tw. Verbrauchserscheinungen aufweisen, die auf dessen Nutzung als Reittier hinweisen und die in der Diagonale links vorne/rechts hinten liegen.

Die Proportionen und Wuchsform der Hinterextremität wurden mit jenen der Hengste und Wallachen aus der bajuwarischen Pferdebestattung von Linz-Zizlau verglichen.

ANHANG

Einzelmaße des Pferdeskeletts

| Pelvis | links | rechts |
|--|-------|--------|
| Größte Länge | 453 | |
| Länge des Acetabulums | 72 | 71,5 |
| Länge des Acetabulums ohne Labium | 65 | 64 |
| Länge der Symphyse | 180 | |
| Kleinste Höhe der Darmbeinsäule | 40,5 | 44 |
| Kleinste Breite der Darmbeinsäule | 27,5 | 28 |
| Kleinster Umfang der Darmbeinsäule | 120 | 120 |
| Länge d. Foramen obturatum | 66,5 | 65,5 |
| Größte Breite über Acetabula | 240 | |
| Größte Breite über Tubera ischiadica | 198 | |
| Kleinste Breite über die Rami acetabulares ossium ischii | 116 | • |
| Femur | links | rechts |
| Größte Länge | 399 | 402 |
| Größte Länge von Collum aus | 365 | 364 |
| Größte Breite proximal | 120 | 122,5 |
| Tiefe des Caput femoris | _ | 57 |
| Kleinste Breite der Diaphyse | | 49,5 |
| Kleinster Umfang der Diaphyse | 156 | 157 |
| Größte Breite distal | 96,5 | 99 |
| Patella | links | rechts |
| Größte Länge | | 61 |
| Größte Breite | 60,5 | 65 |
| Tibia | links | rechts |
| Größte Länge | 359,5 | 360,5 |
| Länge lateral | 329 | 330,5 |
| Größte Breite proximal | 99 | 98,5 |
| Kleinste Breite der Diaphyse | 42 | 42 |
| Kleinster Umfang der Diaphyse | 126 | 126 |
| Größte Breite distal | 76 | 75,5 |
| Tiefe distal | 50 | 49 |
| Talus | links | rechts |
| Größte Höhe | 61,5 | 62 |
| Größte Breite | 62,5 | 62 |
| Breite der Facies articularis distalis | 53,5 | 55 |
| Länge des medialen Rollkamms | 62 | 62 |
| Calcaneus | links | rechts |
| Größte Länge | 114,5 | 114 |
| Größte Breite | 54,5 | 55,5 |
| Metatarsus | links | rechts |
| Größte Länge | 273 | 275,5 |
| Größte Länge lateral | 265 | 268,5 |
| | | • |

Erika Kanelutti

| Außenlänge lateral | 262 | | 263,5 |
|--|--------|---------|---------|
| Größte Breite proximal | 53 | | 53 |
| Größte Tiefe proximal | 45 | | 45 |
| Kleinste Breite der Diaphyse | 35 | | 33 |
| Kleinste Tiefe der Diaphyse | 28 | | 27,5 |
| Kleinster Umfang der Diaphyse | 106 | | 105,5 |
| Größte Breite distal | 53,5 | | 52,5 |
| Größte Tiefe distal | 39 | | 39 |
| Phalanx 1 | li/ant | li/post | re/ant |
| Größte Länge | 90,5 | 88 | 88,5 |
| Größte Breite proximal | 58,5 | 59 | 64 |
| Breite der Facies articularis proximalis | 53 | 52 | 52,5 |
| Tiefe proximal | 39 | 42 | 41 |
| Kleinste Breite der Diaphyse | 35 | 34 | 34 |
| Größte Breite distal | 51 | 48,5 | 49,5 |
| Breite der Facies articularis distalis | 48 | 46,5 | 46 |
| Phalanx 2 | li/ant | li/post | re/post |
| Größte Länge | 49 | 50 | 52,5* |
| Größte Breite proximal | 54,5 | 54 | 53,5 |
| Breite der Facies articularis proximalis | 49,5 | 47 | 48 |
| Tiefe proximal | 36,5* | 35 | 37,5* |
| Kleinste Breite der Diaphyse | 47,5 | 45 | 44,5 |
| Größte Breite distal | 53.5 | 48.5 | 53 5 |

^{*} Maße inkl. Exostosen

LITERATURVERZEICHNIS

- BÖKÖNYI, S., 1965. Untersuchungen der Pferdeskelette des baierischen Gräberfeldes von Linz-Zizlau I. – Naturkundl. Jahrb. d. Stadt Linz.
- BOESSNECK, J., DRIESCH-KARPF, A. VON DEN und N.-G. GEJVALL. 1968. Die Knochenfunde von Säugetieren und vom Menschen. The Archaeology of Skedemosse III. Royal Academy of Letters, History and Antiquities. Stockholm.
- DRIESCH-KARPF, A. VON DEN, 1967. Neue Pferdeskelettfunde aus Reihengräberfeldern in Bayern. Bayerische Vorgeschichtsblätter 32.
- DRIESCH, A. VON DEN, 1975. Die Bewertung pathologisch-anatomischer Veränderungen an vor- und frühgeschichtlichen Tierknochen. In: CLASON, A. T. (Hrsg.): Archaeological Studies North-Holland. American Elsevier. Amsterdam, Oxford, New York. S. 413–425
- DRIESCH, A. VON DEN, 1976. Das Vermessen von Tierknochen aus vor- und frühgeschichtlichen Siedlungen. München.
- DRIESCH, A. VON DEN, und J. BOESSNECK, 1974. Kritische Anmerkungen zur Widerristhöhenberechnung aus Längenmaßen vor- und frühgeschichtlicher Tierknochen. Säugetierkundliche Mitteilungen 22, 4.
- DRIESCH, A. VON DEN, und J. BOESSNECK, 1980. Ein bajuwarisches Pferdegrab in Regensburg. Jahresberichte der bayerischen Bodendenkmalpflege 21.
- DRIESCH, A. VON DEN, und J. BOESSNECK, 1988. Haustierhaltung, Jagd und Fischfang bei den Bajuwaren. In: Die Bajuwaren. Von Severin bis Tassilo 488–788. Salzburg.
- FÖRSTER, U., 1960. Die Pferdephalangen aus dem keltischen Oppidum von Manching. Studien an vor- und frühgeschichtlichen Tierresten Bayerns VIII. München.
- HABERMEHL, K.-H., 1975. Die Altersbestimmung bei Haus- und Labortieren. Hamburg, Berlin.
- HÜSTER, H., 1986. Untersuchungen an Skelettresten von Pferden aus Haithabu (Ausgrabung 1966–1969). Berichte über die Ausgrabungen in Haithabu, 23. Neumünster.
- KIESEWALTER, L., 1888: Skelettmessungen an Pferden. Dissertation. Leipzig. Zit. nach: DRIESCH und BOESSNECK, 1974.
- KOCKS, B.-M., 1978. Die Tierknochenfunde aus den Burgen auf dem Weinberg in Hitzacker/Elbe und in Dannenberg (Mittelalter). I. Die Nichtwiederkäuer. Diss. München.
- KRAHMER, R. und L. SCHRÖDER, 1986. Atlas der Anatomie der Haustiere. S. Hirzel, Leipzig. MÜLLER, H.-H., 1985. Frühgeschichtliche Pferdeskelettfunde im Gebiet der Deutschen Demokratischen Republik. Beiträge zur Archäologie IV.
- SCHÄFFER, J. und A. VON DEN DRIESCH, 1983. Tierknochenfunde aus fünf frühmittelalterlichen Siedlungen Altbayerns. Documenta naturae 15. München.
- VITT, V.O., 1952. Die Pferde der Kurgane von Payryk (russ.). Sovietskaja Arch., 16. Moskau. Zit. nach: DRIESCH und BOESSNECK, 1974.